

岐阜大学工学部 正員 河村三郎  
岐阜大学工学部 正員 ○久保田綱

1) はじめに 最近、熱線流速計によってさまざまな粗面形態上の乱流特性が計測されているが、まだ十分ではなく、また報告されている結果も互いに背反するような結果である。たゞして、一層、流水乱流測定の困難さが痛感される。そこで今回、我々は構造物上の乱流特性を測定したので、その結果を報告する。

2) 実験条件 実験は長さ15.5m、幅40cmの循環式水路床に、1辺の長さ及ぶ0.4cmの正方形の模を、模間隔Sと長さの比 $S/L = 4$ で配置した構造物を12ヶ設置して行った。表1は実験条件であり、また平均流速分布は相当粗度 $k_s$ を使用して図1に示してある。既往の研究によると $S/L = 4$ の場合には完全干涉流と考えられ、壁面領域は比較的一様であり、均一粒状粗度による流れと類似した流れが発生していると考えられる。なお水深は模頂から測っている。乱流データは、データレコーダーに記録した後、サンプリング間隔 $\Delta t = 0.06984$ 秒、データ数2500個で紙テープに出力させた後に統計処理を行っている。

3) 実験結果 図2は測定したそれぞれの位置での平均出力電圧 $V$ を相対水深 $y/D$ で表したものである。この図より、出力電圧は相対水深 $y/D = 0.6 \sim 0.7$ 、および0.3前後の所で急に大きくなっている様であり、これらの関係を1本の校正曲線で表すのは適切ではないようと思われる。一様せん断流によて発生する層流境界層の問題を研究したTang<sup>1)</sup>と同様な解析方法によって、Emery-Brettman<sup>2)</sup>は一様せん断流によて発達する層流境界層では、熱伝達が一様流の場合に比べて増加すると報告している。Hot-filmプローブ上に発生する境界層は一般に層流境界層であると考えられるために、自由水面から離れ方に従がって、速度勾配が増加し、Emery-Brettmanによって報告されて、このような効果が生じるものと考えられる。しかし、出力電圧が変化するのは、單にせん断が増加するためのみではなく、種々の影響があるものと考えられる。

間欠係数 $\gamma$ は多数の研究者によって、熱線流速計からの出力信号により間欠係数計を使用して求められているが、まだ定量的に調べる方法は確立されていない。SandbornはBatchelorの提案したかい、flatness factorを用いて間欠係数 $\gamma$ を求めている。今回われわれは、間欠係数 $\gamma$ そのものではないが、流れの間欠性を表す測度として以下のようにして $\gamma$ を計算した。<sup>3)</sup> 亂流域での流速を $U_L$ 、非乱流域での流速を $U_{nf}$ として、ある水深での流速 $U$ を $U = U_L r + U_{nf} (1-r)$  —— (1) と表わす。はたはだ難び表示であり、自由水面での条件が無視されているが、水面流速を $U_{sf}$ として、

表 1

RUN	6	7
DEPTH (cm), D	6.10	4.21
MEAN VELOCITY (cm/sec), $\bar{U}$	21.32	23.68
HYDRAULIC RADIUS, R	4.87	3.48
FRICITION VELOCITY, $u_*$	1.80	1.93
REYNOLDS NUM., $R_e = 4UR/\nu$	36200	27900
FROUDE NUM., $F_r$	0.28	0.37

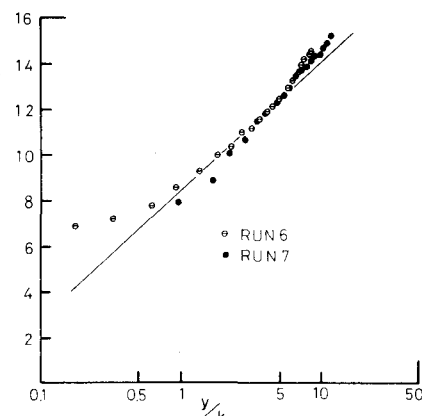


図 1

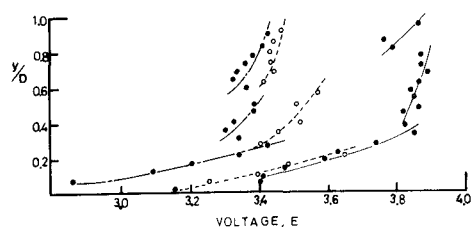


図 2

$$\bar{U}_e/u = \frac{1}{k} \ln \frac{y_e}{y_0} + 8.5, \quad \frac{\bar{U}_e}{u} = u_s/u \quad (2)$$

として式(1)に代入すると、 $\gamma = \frac{\bar{U} - u_s}{U_e (\frac{1}{k} \ln \frac{y_e}{y_0} + 8.5 - \frac{u_s}{u})}$  ————— (3)

この式から $\gamma$ を求めた。図3は $y_e/y_0$ になる相対水深と、フルード数Frとの関係を示したものであり、Fr数が増加するに伴う $\gamma = 1$ の相対水深が減少することが判る。

この $\gamma$ の近似式は、式(4)のように表示した。

$$\gamma = \frac{1}{2} \left[ 1 - \sin \frac{\pi}{2} \left\{ \frac{2}{1.58 Fr} \left( \frac{y_e}{y_0} - 1 \right) + 1 \right\} \right] \quad (4)$$

Fr数をパラメータとして図4に示す。RUN 4, 6, 7 では自由水面付近の出力電圧が変化する位置に対する $\gamma$ の値は約0.7ぐらいの値である。

したがって、閉水路乱流測定では自由水面の影響が熱線流速

計の出力電圧に表われ、この影響はFr数が大きいほど深い位置までおよぶようである。

一方、相対水深 $y_e/y_0 = 0.3$ ぐらいの所でやはり出力電圧が大きく変化しているが、これは粗面乱流持存のものであろうか、または機械装置持存のものであるか判然としない。RUN 4, 6, 7 の相対相度はそれそれ、0.594cm, 0.653cm, 0.326cm であり、RUN 7 の相対相度が少々小さいが、機械装置上に発生している比較的一様な壁面領域の影響によって、出力電圧に変化が起っているものと思われる。したがって、今回山川の実験におけるデータ処理では、それらの校正曲線を使用して乱流特性量を求めた。

図5は乱流強度 $u'/u$ を摩擦速度 $u_s$ で無次元化して、相対水深で表示したものである。同図中には他の測定結果も記入してあるが、Richardson-McQuivey のデータは側壁の効果を補正して記入してある。この図より、RUN 7 のデータが少し大きな値を示していることが判る。

図6は渦のマクロスケール $L/D$ を自己相似係数により求めた図である。この図より、渦のマクロスケール $L/D$ は水路中央部で水深の2倍程度の大きさを持てていることが判る。

4) おわりに これらの結果は実験回数も少なく、また出力電圧が水面近傍で変化するようであるが、したがって、滑面の場合にも同様の変化が生ずるであろうか、または單に機械装置持存の現象であるのかについて、今後は滑面における実験を増やす予定である。

#### 5) 参考文献

- (1) Lu Tung "Boundary layer over a flat plate in presence of shear flow" the physics of Fluids, VOL. 3, 1960, PP. 78~81.
- (2) A. F. Emery and K. F. Brettmann "Temperature distributions in laminar flat plate shear flow" Trans. ASME., 1968, PP. 32~36.
- (3) 益田重明他3名、"乱流境界層における主流速度こう配の影響" 日本機械論文集、第2部 VOL. 40, NO. 329, S 49, PP. 191~198.

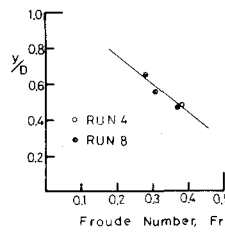


図 3

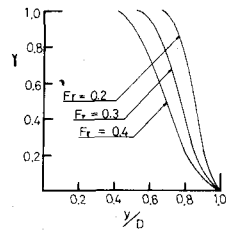


図 4

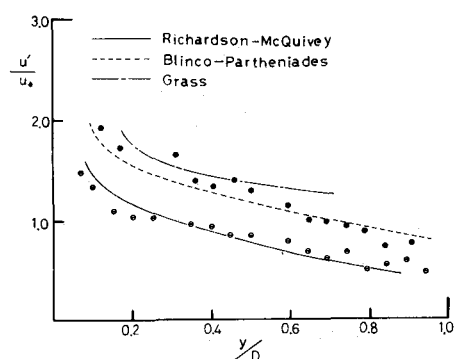


図 5

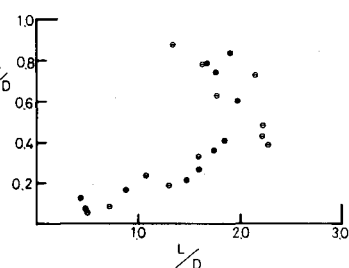


図 6